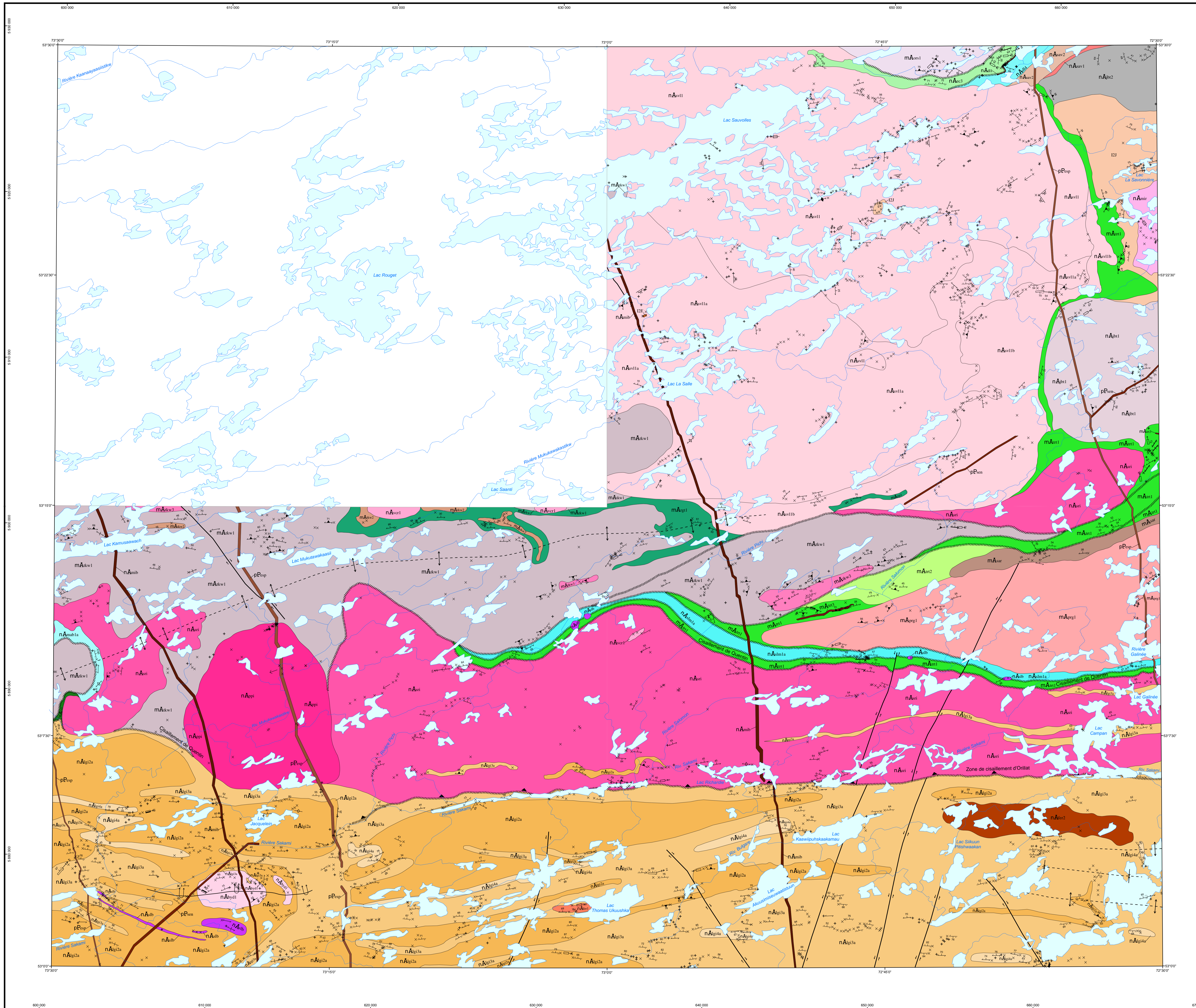


# Géologie de la région du lac Richardie



### LÉGENDE STRATIGRAPHIQUE

**PALEOPROTÉROZOÏQUE**

Dykes du Lac Esprit (2069 ±1 Ma, Hamilton et al., 2001)  
 nA<sub>Es</sub>1 Diabase (gabbrone)

Dykes de Desnèves (2221 ±4 Ma et 2216 ±8-4 Ma, Davis, communication personnelle 2015; Buchan et al., 1996)  
 nA<sub>D</sub> Diabase (gabbrone)

**NÉOARCHÉEN**

Essais de dykes de Missassin (2515 ±3 Ma, Hamilton, 2009; 2503 ±2 Ma, Davis, communication personnelle 2015)  
 nA<sub>M</sub> Diabase (gabbrone) localement porphyrique à oligoclase

Granite du Vieux Comptoir (2618 ±18-13 Ma et 2618 ±2 Ma, Goutier et al., 1999b et 2000)  
 nA<sub>V</sub>1 Granite pegmatitique à biotite et muscovite, localement à tourmaline

Suite de Labiole (>2619,6 ±1,8-1,4 Ma, Davis et al., 2011a)  
 nA<sub>L</sub>1b Mésogabbro à olivine avec ou sans phlogopite, communément porphyroblastique à orthopyroxène, métagabbro à anthophyllite

Suite de Joubert  
 nA<sub>J</sub>1b Alternance décimétrique de gres tonalitique et dioritique, à biotite et hornblende  
 nA<sub>J</sub>1a Tonalite et granodiorite à biotite et magnétite foliées, tabulaires ou gresistiques

Suite de Richardie  
 nA<sub>R</sub>1 Granodiorite à biotite, magnétite et hornblende porphyrique à feldspath potassique; niveaux de tonalite et de diorite foliées à hornblende et biotite

Pluton de Piché (2693,2 ±5,4 Ma, Davis, communication personnelle 2015)  
 nA<sub>P</sub>1 Granodiorite à hornblende, biotite et magnétite porphyrique à feldspath potassique; localement avec diorite

**SOUS-PROVINCE D'OPINACA**

Suite intrusive de Boyd  
 nA<sub>B</sub>1 Granite

Suite de Faron (2716,4 ±2,4 Ma, Augland et al., 2016)  
 nA<sub>F</sub>1 Diorite

nA<sub>F</sub>2 Ensemble de monzonite foliées et de monzodiorite migmatitiques

Complexe de Laguiche (>2710 Ma, Augland et al., 2016, pics métamorphiques à 2663 Ma et 2613 Ma)  
 nA<sub>L</sub>1a Diatexite de paragneiss à biotite avec ou sans grenat contenant plus de 50 % de mobilité  
 nA<sub>L</sub>1b Mésaxérite mylonitisée de paragneiss à biotite avec ou sans grenat contenant de 10 à 50 % de mobilité  
 nA<sub>L</sub>1c Paragneiss de wacke à biotite avec ou sans grenat contenant moins de 10 % de mobilité

**SOUS-PROVINCE DE LA GRANDE**

Suite de Larbotière  
 Pluton de Miramar  
 nA<sub>M</sub>1 Granodiorite à biotite et magnétite porphyrique à phénocrystaux de quartz

Pluton de Sauvoles (2708 ±7 Ma et 2698 ±14 Ma, Davis et al., 2015; Davis, communication personnelle 2015)  
 nA<sub>S</sub>1 Granite à biotite massif à peu folié avec enclaves de nature variée

nA<sub>S</sub>2 Ensemble de granodiorite à biotite et de granite à biotite avec enclaves de tonalite foliées  
 nA<sub>S</sub>3 Granite à biotite, hornblende et magnétite massif à peu folié avec enclaves de nature variée

Formation de Marché (c.2702 ±2 Ma, Davis et al., 2011)  
 nA<sub>M</sub>1 Paragneiss dérivé de wacke, à biotite, sillimanite et muscovite et mésoxérite de paragneiss à biotite

Formation de la rivière Salomon (c.2708 Ma, Davis, communication personnelle 2015)  
 nA<sub>R</sub>1 Mésaxérite mylonitisée de paragneiss à biotite; diatexite de paragneiss à biotite et paragneiss de wacke à biotite

Groupe de Duhamel  
 Formation de Dalmas (c.2698 Ma, Davis, communication personnelle 2016)  
 nA<sub>D</sub>1 Paragneiss dérivé de wacke; rares niveaux conglomeratés

nA<sub>D</sub>2 Formation de fer

Formation de l'Escalier (2707,5 ±1 Ma et 2706,4 ±0,8 Ma, Davis, communication personnelle 2015)  
 nA<sub>E</sub>1 Ensemble composé principalement d'amphibolites dérivées de basites et d'androsites; niveaux métriques de mylonites foliées et de formation de fer

Pluton de La Savonnière (2741,7 ±0,8 Ma, Davis, communication personnelle 2015)  
 nA<sub>S</sub>2 Diorite et diorite quartzifère foliées

nA<sub>S</sub>3 Ensemble de tonalite à biotite, de granodiorite à biotite et magnétite et de granite à biotite et magnétite foliées

Formation de Corvets (2742 ±28 Ma, Davis et al., 2014)  
 nA<sub>C</sub>1 Amphibolites foliées à mylonites dérivées de volcanites intermédiaires à mafiques

**MÉSARCHÉEN**

Mésogabbro de Sarane (2820 ±9 Ma, Davis et al., en préparation)  
 nA<sub>S</sub> Amphibolite dérivée de gabbrro

Intrusion d'Orstény (2823,1 ±7,4 Ma, Davis, communication personnelle 2015)  
 nA<sub>O</sub>1 Tonalite foliées à biotite et hornblende et magnétite

Pluton de la Rivière Galinée (2824,2 ±6,2 Ma, Davis, communication personnelle 2016)  
 nA<sub>R</sub>1 Granodiorite et tonalite foliées, à biotite et magnétite

Intrusion de Kamusawach (2831 ±0,6 Ma, Augland et al., 2016)  
 nA<sub>K</sub>1 Granodiorite à biotite et magnétite à hornblende généralement foliées

nA<sub>K</sub>2 Diorite et diorite quartzifère granoblastiques et foliées

nA<sub>K</sub>3 Tonalite foliées à biotite, souvent à hornblende, et magnétite; injectons de granite

Formation de Trieste (2839,2 ±5,6 Ma, Davis, communication personnelle 2015)  
 nA<sub>T</sub>1 Formation de fer au faciès des oxydes et des silicates

nA<sub>T</sub>2 Amphibolite dérivée de roches volcaniques intermédiaires

nA<sub>T</sub>3 Ensemble de mylonites et d'amphibolites rubanées dérivées de basite

Formation de Rouget (2845 ±5 Ma, Davis et al., 2015)  
 nA<sub>R</sub>1 Amphibolites dérivées de roches volcaniques mafiques et intermédiaires

**LÉGENDE LITHOLOGIQUE**

**NÉOARCHÉEN**

12F Monzonite  
 12J Diorite

Les symboles et abréviations utilisés sur cette carte sont décrits dans la publication DV 2014-06 du ministère de l'Énergie et des Ressources naturelles.

### Localisation

33912 33911 33910 33909  
 33908 33907 33906 33905  
 33904 33903 33902 33901  
 33A13 33A14 33A15 33A16

### Métadonnées

Surface de référence géodésique : Ellipsoïde GRS 80  
 Système de référence géodésique : NAD 83 compatible avec le système mondial WGS 84  
 Projection cartographique : Mercator transverse universelle (MTU), fuseau 18  
 Longitude d'origine : 73°W  
 Latitude d'origine : 0°

0 2 4 6 8 10  
 1:65 000

### Sources

**Données**  
 Base de données topographiques et administratives à l'échelle de 1:250 000 (BDTA 250k)

**Organisme**  
 Ministère de l'Énergie et des Ressources naturelles

### Réalisation

Géologie : Joséphine Gilon, Jean Goutier, William Charrier-Montreuil (2013)

Références : Barrette, J.-P. (1996) - GM 54237  
 Caron, E. (2003) - GM 60564  
 Goutier, L., Savard, M., Archer, P. (2006) - GM 62531  
 Hoeg, M. (1989) - ET 55-05  
 Larivière, J.-F., Barville, R. (2009) - GM 64528  
 Larivière, J.-F., Barville, R., Gagnon, R. (2009) - GM 64679  
 Larivière, J.-F., Barville, R. (2013) - GM 67512  
 Lavoie, P.-Y., Goyet, M., Plante, M., Larive, L. (1978) - GM 34175  
 Lavoie, S. (2003) - GM 61567  
 Turgeon, D., Oswald, R. (2007) - GM 63308

Assistance technique : Julie Savoyeux

Production : Ministère de l'Énergie et des Ressources naturelles  
 Direction générale de Géologie Québec

Diffusion : Ministère de l'Énergie et des Ressources naturelles  
 Direction de l'information géologique du Québec

Le présent document n'a aucune portée légale  
 Dépôt légal - Bibliothèque et Archives nationales du Québec  
 © Gouvernement du Québec, 3<sup>e</sup> trimestre 2017

**RG-2016-04-C001**

Carte de rapport RG 2016-04  
 Pour obtenir les données les plus récentes concernant cette région, nous vous suggérons de consulter les produits géomatiques du Système d'information géomatique du Québec (SIGÉOM)

**SIGÉOM**  
 Système d'information géomatique du Québec

**Énergie et Ressources naturelles**  
 Québec